

Министерство науки и высшего образования Российской Федерации
Муромский институт (филиал)
федерального государственного бюджетного образовательного учреждения высшего образования
«Владимирский государственный университет
имени Александра Григорьевича и Николая Григорьевича Столетовых»
(МИ ВлГУ)

Факультет информационных технологий и радиоэлектроники
Кафедра информационных систем

КУРСОВАЯ РАБОТА

по курсу Моделирование информационных систем

на тему: Моделирование аффинных преобразований над признаковым
пространством

Руководитель

к. т. н., доц. каф. ИС

(уч. степень, звание)

Еремеев С. В.

(фамилия, инициалы)

(подпись)

(дата)

Члены комиссии

Студент ИС - 122

(группа)

Клинцов С. М.

(фамилия, инициалы)

(подпись)

(Ф.И.О.)

(подпись)

(Ф.И.О.)

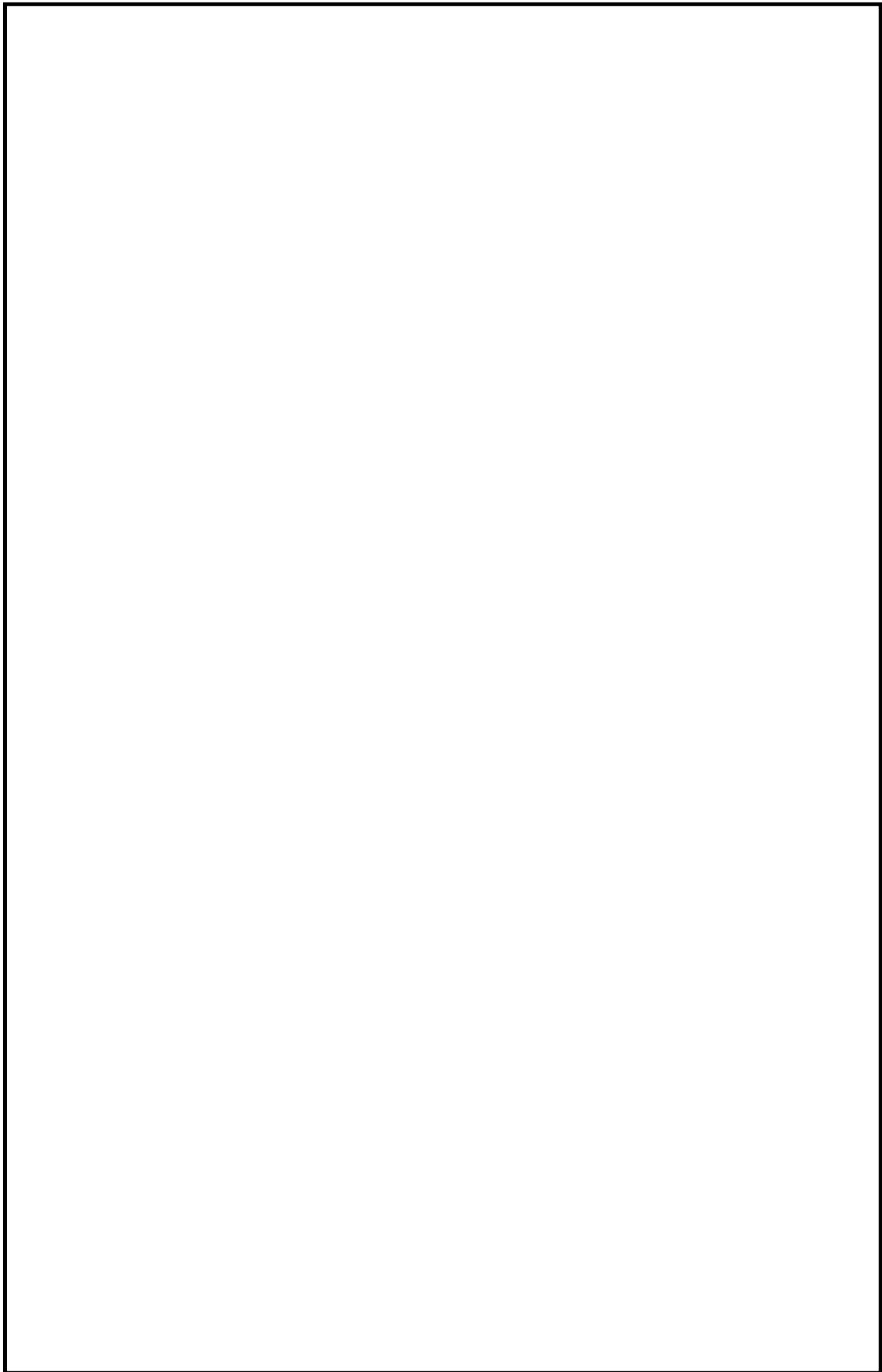
(подпись)

(дата)

Муром 2025

В ходе курсовой работе было разработано приложение для применения различных аффинных преобразований к нейронным сетям:

- обучены сети различной сложности;
- реализован алгоритм применения аффинных преобразований к весам обученной модели;
- разработан интерфейс взаимодействия с пользователем;
- проведено тестирование и отладка проекта.



СОДЕРЖАНИЕ

ВВЕДЕНИЕ	6
1. Анализ технического задания	8
1.1 Языки программирования: Java, Python	8
1.2 Нейронные сети: Eclipse Deeplearning4J	9
1.3 Среда разработки: VScode	9
2. Разработка модели	10
2.1 Создание однослойной бинарной модели “Треугольник”	10
2.2 Визуализация модели	10
2.3 Знакомство с аффинными преобразованиями	14
2.4 Аффинное преобразование поворота	15
2.5 Аффинное преобразование растяжение/сжатие	19
2.6 Аффинное преобразование расширения	23
2.7 Создание многослойной бинарной модели “Два треугольника”	25
2.7 Визуализация применения аффинных преобразований к модели “Два треугольника”.....	28
2.8 Создание многослойной модели “MNIST”	31
3. Исследование работы модели.....	35
3.1 Анализ результатов экспериментов.....	36
ЗАКЛЮЧЕНИЕ.....	37
СПИСОК ИСПОЛЬЗОВАННЫХ ИСТОЧНИКОВ	38
Приложение А «Таблица экспериментов с поворотом на 256 градусов для модели Два треугольника»	39
Приложение В «Таблица экспериментов с поворотом на 256 градусов для модели MNIST»	40

Изм	Лист	№ докум.	Подп.	Дата	МИВУ.09.03.02-00.000	ПЗ
Студент		Клинцов С.М.				
Руков.		Еремеев С.В.				
Конс.						
Н.контр.						
Зав.каф.						
Моделирование аффинных преобразований над признаковым пространством					Лит.	Лист
					у	4
						44
					МИ ВлГУ	
					ИС-122	

Приложение С «Таблица экспериментов с растяжением в 2 раза для модели Два треугольника»	41
Приложение D «Таблица экспериментов с растяжением в 2 раза для модели MNIST»	42
Приложение Е «Таблица экспериментов с расширением на коэффициент 0.2 для модели Два треугольника»	43
Приложение F «Таблица экспериментов с расширением на коэффициент 0.2 для модели MNIST»	44

Изм	Лист	№ докум.	Подп.	Дата

МИВУ.09.03.02-00.000 ПЗ Лист 5

ВВЕДЕНИЕ

Современное машинное обучение, особенно в области глубоких нейронных сетей, достигло невероятных успехов в решении сложных задач, от компьютерного зрения до обработки естественного языка. Однако эта мощь сопряжена с существенными вызовами, среди которых — вычислительная дороговизна дообучения, а также растущая потребность в управлении и интерпретации уже развёрнутых моделей. Обученная нейросетевая модель представляет собой сложную иерархическую структуру, где веса каждого слоя кодируют определённые паттерны в данных. Прямое манипулирование этими весами без потери качества предсказаний задача не из простых, так как даже незначительные изменения могут привести к искажению выходов.

В этом контексте концепция аффинных преобразований над признаковым пространством приобретает ключевое значение. Признаковое пространство — это абстрактное многомерное пространство, в котором данные представлены векторами признаков, извлечённых слоями нейронной сети. Аффинные преобразования (линейные трансформации, такие как поворот, масштабирование, сдвиг и их комбинации) являются фундаментальным инструментом геометрии и линейной алгебры. Их применение к признаковым пространствам обученных моделей открывает принципиально новые возможности: целенаправленное изменение внутренних представлений, коррекцию смещений (bias), сжатие или адаптацию модели к смещённым распределениям данных — и всё это без риска разрушения уже усвоенных знаний.

Таким образом, актуальность данной работы обусловлена необходимостью разработки эффективных и безопасных методов постобработки обученных моделей, которые позволили бы вносить в них управляемые изменения, сохраняя при этом исходную точность предсказаний.

Изм	Лист	№ докум.	Подп.	Дата
-----	------	----------	-------	------

Исследования в области манипуляций с весами и представлениями нейронных сетей ведутся, но носят зачастую фрагментарный характер. Классический подход к модификации модели – её дообучение на новых данных или с новыми целями. Однако он требует вычислительных ресурсов, исходных данных и изменяет архитектуру процесса обучения, что не всегда допустимо.

Однако комплексный подход, который быставил своей целью целенаправленное, контролируемое и обратимое аффинное преобразование весового пространства модели с гарантией сохранения точности на исходном задании, в литературе представлен недостаточно.

Объект исследования: обученные нейросетевые модели.

Целью данной работы является исследование возможности применения аффинных преобразований к признаковым пространствам обученной нейронной сети и разработка на этой основе алгоритма, позволяющего адаптировать веса модели к изменённым данным без изменения её выходной точности.

Для достижения поставленной цели необходимо решить следующие задачи:

- провести теоретический анализ структуры признаковых пространств глубоких нейронных сетей и свойств аффинных преобразований в контексте линейной алгебры;
- сформулировать строгие математические условия, при которых аффинное преобразование, применённое к весам одного или нескольких слоёв сети, не изменяет итоговое предсказание для измененных данных;
- разработать и формализовать алгоритм поиска и применения аффинных преобразований к весам полносвязных слоёв предобученной модели;
- реализовать спроектированный алгоритм на языке программирования Java с использованием библиотеки для глубокого обучения deeplearning4j;
- экспериментально проверить корректность работы алгоритма.

Изм	Лист	№ докум.	Подп.	Дата

МИВУ.09.03.02-00.000

ПЗ

Лист

7

1. Анализ технического задания

Исходным заданием работы является реализация алгоритма, который позволит менять веса уже обученной нейросетевой модели без изменения точности её предсказаний, не прибегая к дообучению. Основными сложностями в реализации стали:

- обработка многослойных и многомерных современных сетевых моделей;
- тонкости применения аффинных преобразований к весам этих моделей.

Для решения этих задач потребовался тщательное изучение устройства нейронных сетей и выбор технологий, обеспечивающих высокую производительность, удобство разработки и корректную работу алгоритмов машинного обучения.

1.1 Языки программирования: Java, Python

Основным языком разработки выбран Java, что обусловлено его надёжностью, производительностью и доминирующим положением в промышленной разработке корпоративных систем. В контексте реализации алгоритмов манипуляции с весами обученных моделей использование Java обеспечивает строгую типизацию и высокую предсказуемость выполнения, что критически важно для обеспечения корректности и воспроизводимости преобразований. Хотя Python традиционно доминирует в сфере прототипирования и исследований машинного обучения благодаря лаконичному синтаксису и обширной экосистеме специализированных библиотек, для данной задачи приоритетными стали производительность во время выполнения, многопоточность и возможности низкоуровневой оптимизации, которые в полной мере предоставляет Java.

Изм	Лист	№ докум.	Подп.	Дата
-----	------	----------	-------	------

МИВУ.09.03.02-00.000

ПЗ

Лист

8

Для графического отображения данных был использован Python в паре с Matplotlib - библиотекой для визуализации данных двумерной и трёхмерной графикой.

1.2 Нейронные сети: Eclipse DeepLearning4J

В качестве основы для обучения модели, её анализа, проведения аффинных преобразований и реализации дополнительных вычислительных компонентов был выбран DL4J в связке с библиотекой ND4J. Этот стек представляет собой наиболее эффективное решение для глубокого обучения на платформе Java/JVM.

1.3 Среда разработки: VScode

Средой разработки стал Visual Studio Code - легковесный, но мощный редактор, с широкими возможностями кастомизации и поддержкой огромного множества языков. Его универсальность и производительность делают его оптимальным выбором для подобных проектов по сравнению с более специализированными IDE.

Изм	Лист	№ докум.	Подп.	Дата
-----	------	----------	-------	------

2. Разработка модели

Для всех экспериментов использовались исключительно полносвязные нейронные сети, что позволило сфокусироваться на свойствах преобразований без усложнений, присущих свёрточным или рекуррентным архитектурам.

2.1 Создание однослоиной бинарной модели “Треугольник”

Первоначальной задачей стало построение максимально простой и интерпретируемой модели для дальнейшей визуализации работы нейронной сети и её внутреннего представления.

Была разработана однослоиная нейронная сеть с архитектурой 2 – 2 – 1 (точка x, у на вход, два нейрона в скрытом слое, один выходной нейрон). Для датасета программно генерировался сбалансированный набор точек так, чтобы данные формировали визуальный треугольник на графике, который потом должны были ограничивать линии нейронов скрытого слоя.

Модель решает бинарную задачу классификации: определение принадлежности точки с координатами (x, y) заданной геометрической области - треугольнику.

Обучение модели продолжалось до сходимости, что визуально выражалось в стабилизации значений функции потерь. Финальное значение accuracy было примерно 96%.

2.2 Визуализация модели

В общем случае получение значения активации нейрона на каждом слое полносвязной сети можно описать следующим уравнением:

$$\sigma(w_1a_1 + w_2a_2 + \dots + w_na_n + b) = a , \text{ где} \quad (1)$$

σ – функция активации;

w_n – вес n-го нейрона прошлого слоя;

a_n – активация нейрона прошлого слоя;

Изм	Лист	№ докум.	Подп.	Дата
-----	------	----------	-------	------

b – смещение;

a – новое значение активации нейрона.

Вспомним как выглядит уравнение линии на двумерной плоскости:

$$ax + by + c = 0$$

Так становиться видно, что уравнение высчитывания новой активации нейрона имеет некоторую схожесть с геометрическим уравнением линии. Сходство становится очевиднее для слоя с двумя нейронами. Отбросим применение функции активации, оставив только сумму произведений весов на активации прошлых нейронов:

$$w_1 a_1 + w_2 a_2 + b$$

Этот факт даёт нам возможность манипулировать этими данными, применяя к ним различные аффинные преобразования.

По этому уравнению мы и сможем построить линии сети, ограничивающие область решений, так как веса и активации – это константы, которые получаются после обучения.

Изм	Лист	№ докум.	Подп.	Дата
-----	------	----------	-------	------

МИВУ.09.03.02-00.000

ПЗ

Лист

11

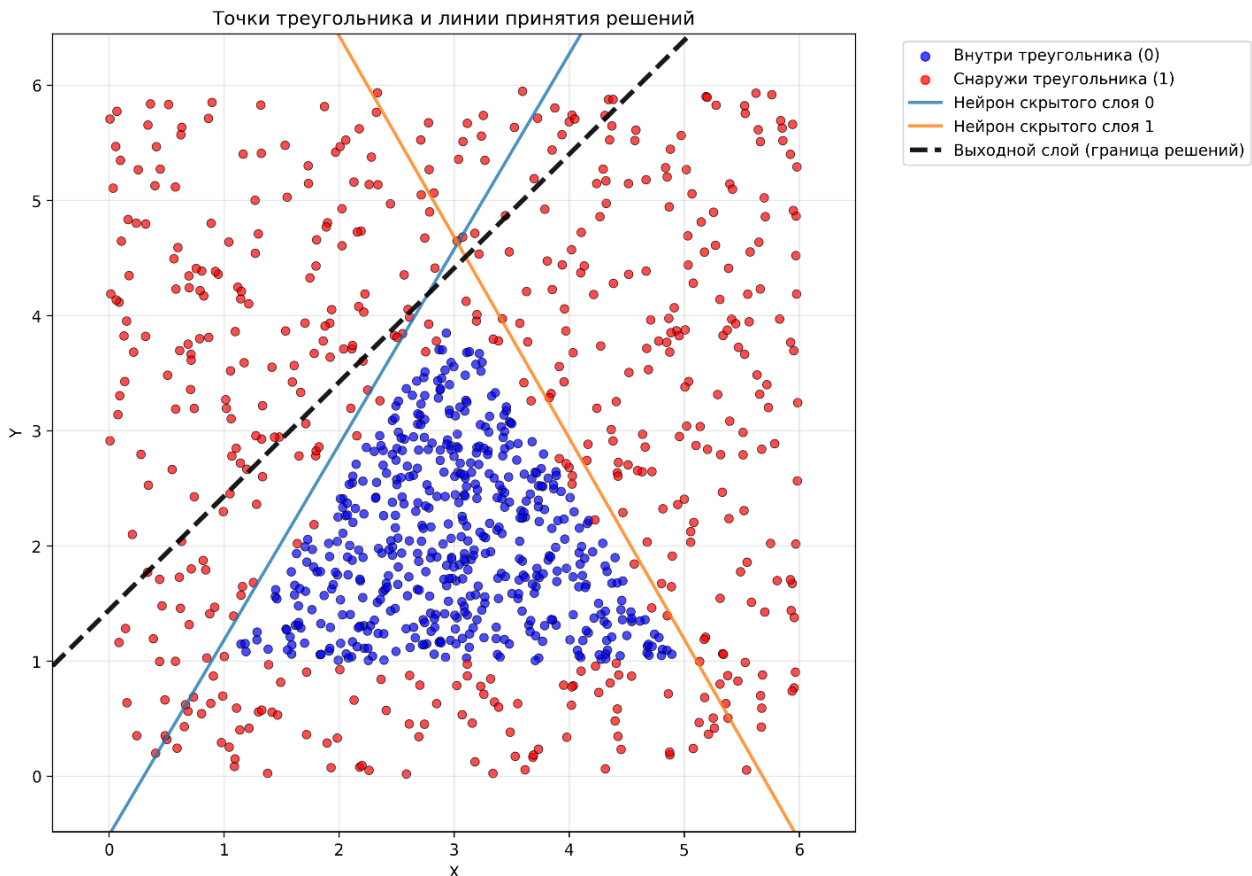


Рисунок 1 - Точки датасета "Треугольник" и ограничивающие линии нейронов

На рисунке 1 видно, как две линии скрытого слоя выделяют треугольник. Третья линия – это выходной слой, который оказывает решающее влияние в реальной работе модели. Можно заметить, что эта линия никак не ограничивает область треугольника. Это происходит, потому что её активация высчитывается по активации нейронов предыдущего слоя, что даёт неожиданный результат при визуализации. Зная это, в дальнейшем будем работать, только с весами и смещениями первого скрытого слоя, который работает непосредственно со входными данными.

2.2.1 Отображение нормалей для линий нейронов

Вспомним, что для каждого нейрона скрытого слоя с весами w_1 , w_2 и смещением b уравнение разделяющей линии в пространстве признаков имеет вид:

$$w_1x + w_2y + b = 0 \quad (2)$$

Изм	Лист	№ докум.	Подп.	Дата

Вектор $n = [w_1, w_2]$ является нормалью (перпендикуляром) к данной линии, что следует из свойств скалярного произведения: если скалярное произведение двух ненулевых векторов равно нулю, то эти векторы перпендикулярны. Действительно, для любых двух точек (x_1, y_1) и (x_2, y_2) , лежащих на линии $w_1(x_2 - x_1) + w_2(y_2 - y_1) = 0$.

Таким образом, вектор весов нейрона определяет не только положение разделяющей линии, но и её ориентацию в пространстве.

Зная направление нормали линии нейрона, мы сможем узнать, где находится точка, передавая значения её координат.

Если результат уравнения $w_1x + w_2y + b > 0$, то нормаль указывает в сторону искомой области. Если $w_1x + w_2y + b < 0$, то область находится в противоположном направлении от неё.

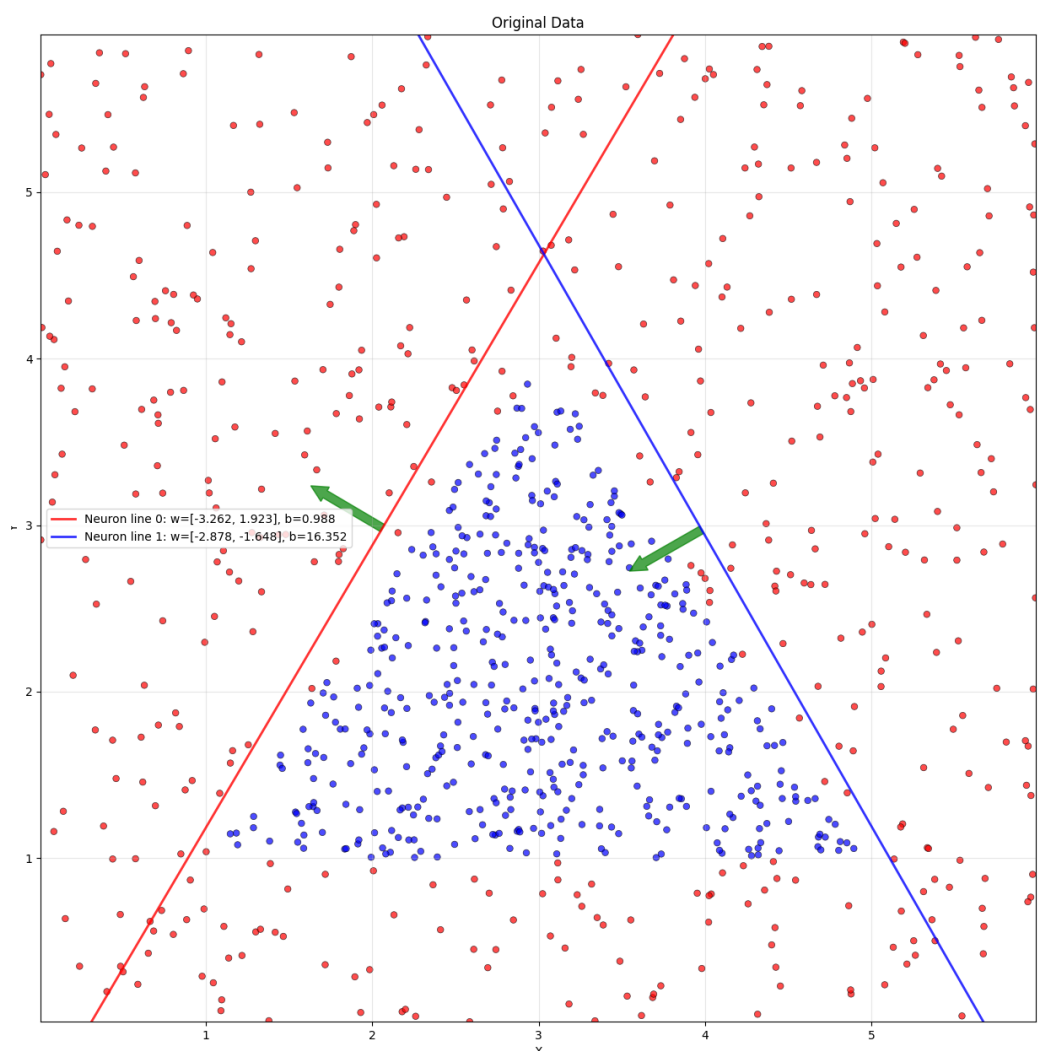


Рисунок 2 - Обновлённое отображение модели “Треугольник” с нормалями

Изм	Лист	№ докум.	Подп.	Дата

Чтобы убедиться, что всё работает, согласно ожиданиям, проведём некоторые вычисления для конкретной точки.

Возьмём точку с $x = 3$, $y = 3$. Визуально можно оценить, что точка с данными координатами входит в область решений. Докажем это расчётом.

Подставляем в формулу 2 известные значения.

Для линии 0 (красная) это будет:

$$-3.26 \cdot 3.0 + 1.92 \cdot 3.0 + 0.98 = -3.04$$

Результат получился отрицательным. Точка находится противоположно направлению нормали.

Для линии 1 (синяя) это будет:

$$-2.87 \cdot 3.0 - 1.64 \cdot 3.0 + 16.35 = 2.82$$

Результат получился положительным. Точка находится по направлению нормали.

Комбинируя результаты, можно сказать, что точка действительно входит в область решений, так как находится между линиями нейронов.

2.3 Знакомство с аффинными преобразованиями

Аффинное преобразование (от лат. *affinis* «соприкасающийся, близкий, смежный») — отображение плоскости или пространства в себя, при котором параллельные прямые переходят в параллельные прямые, пересекающиеся — в пересекающиеся, скрещивающиеся — в скрещивающиеся.

«Отображение в себя» означает, что если мы находились в пространстве R^n , то после образования мы должны остаться в нем же. Например: если мы применили какое-то преобразование к прямоугольнику и получили параллелепипед, то мы вышли из R^2 в R^3 . А вот если из прямоугольника у нас получился другой прямоугольник, то все хорошо, мы отобразили исходное пространство в себя.

Теперь запишем в общем виде, как выглядит преобразование координат в формульном виде.

Изм	Лист	№ докум.	Подп.	Дата
-----	------	----------	-------	------

МИВУ.09.03.02-00.000

ПЗ

Лист

14

Пусть у нас есть исходная система координат. Точка в этой системе характеризуется двумя числами - x и y . Совершить переход к новым координатам x' и y' мы можем с помощью следующей системы:

$$\begin{cases} x' = ax + \beta y + \vartheta \\ y' = \gamma x + \sigma y + \mu \end{cases}$$

При этом, числа a, β, γ, σ должны образовывать невырожденную матрицу:

$$\begin{pmatrix} a & \beta \\ \gamma & \sigma \end{pmatrix}$$

Можно записать и в более общем виде, где аффинное преобразование – это преобразование вида:

$$M * v, \text{ где} \quad (3)$$

M - аффинная матрица, а v - п-мерный вектор.

Для дальнейшей реализации было выбрано 3 аффинных преобразования: поворот, растяжение/сжатие и сдвиг.

2.4 Аффинное преобразование поворота

Для первой экспериментальной проверки концепции модификации весов без дообучения было выбрано аффинное преобразование поворота в пространстве.

Матрица M для поворота против часовой стрелки примет вид:

$$\begin{pmatrix} \cos(a) & \sin(a) \\ -\sin(a) & \cos(a) \end{pmatrix} \quad (4)$$

И новые координаты будут выглядеть так:

$$\begin{cases} x' = x\cos(a) + y\sin(a) \\ y' = -x\sin(a) + y\cos(a) \end{cases}$$

Таким образом получаем повёрнутую систему координат на угол a .

Для поворота точки остаётся вычислить:

$$\begin{pmatrix} \cos(a) & \sin(a) \\ -\sin(a) & \cos(a) \end{pmatrix} * \begin{pmatrix} x \\ y \end{pmatrix}$$

Изм	Лист	№ докум.	Подп.	Дата

2.4.1 Обобщение алгоритма для n-мерной точки

Для заключительного эксперимента будет обучена модель на базе датасета чисел MNIST, каждое из которых имеет размер $28*28$ пикселей, что в результате даёт 784. Нейроны на первом скрытом слое будут размерностью 784, так как должны будут обрабатывать входные 784 пикселя. Таким образом сложные многослойные сети могут состоять из нейронов, которые формируют гиперплоскости n-мерной размерности. Для обобщения матрицы поворота для n-мерного случая, нужно понять, как она формируется. Рассмотрим на примере 2-мерного случая.

Сначала создаётся пустая единичная квадратная матрица $n*n$. Для двумерного случая мы имеем точку с координатами (осями) x, y . Для заполнения значениями матрицы поворота, мы будем брать комбинации осей x, y для определения плоскости вращения. $xx = \cos, xy = -\sin, yx = \sin, yy = \cos$. Получаем формулу 4.

Зная алгоритм для двумерной системы, можно применить его для того, чтобы повернуть точку в n-мерном пространстве вокруг гиперплоскости, заданной двумя осями $axis1$ и $axis2$. Выбираем 2 оси из n и вращаем в плоскости, которую они образуют.

Пример получения обобщенной матрицы преобразования на Java:

```
private double[][] createAffineMatrix(int dimensions, int axis1, int axis2)
{
    double[][] matrix = createIdentityMatrix(dimensions);

    double cos = Math.cos(angleDegrees);
    double sin = Math.sin(angleDegrees);

    matrix[axis1][axis1] = cos;
    matrix[axis1][axis2] = -sin;
    matrix[axis2][axis1] = sin;
    matrix[axis2][axis2] = cos;
```

Изм	Лист	№ докум.	Подп.	Дата
-----	------	----------	-------	------

```
    return matrix;  
}
```

2.4.2 Визуализация модели сети с применением поворота

Преобразования будем применять к скрытым слоям сети. В модели “Треугольник” один скрытый слой, который состоит из 2 нейронов. Вспомним, что каждый нейрон – это прямая, если говорить про двумерные случаи или гиперплоскости, если говорить о n-мерных случаях.

Так как смещение не зависит от входных координат, а веса — зависят, то при применении преобразования к линии нейрона, будем изменять только веса. Корректность данного вывода подтверждается эмпирически. При изменении не только весов, но и смещений, полностью нарушается архитектура модели, и итоговые результаты различны.

Воспользуемся формулой 3: для весов формулы 2 применим преобразование поворота, формула 4.

Для моделирования повёрнутых данных те же преобразования применим и к ним.

Изм	Лист	№ докум.	Подп.	Дата
-----	------	----------	-------	------

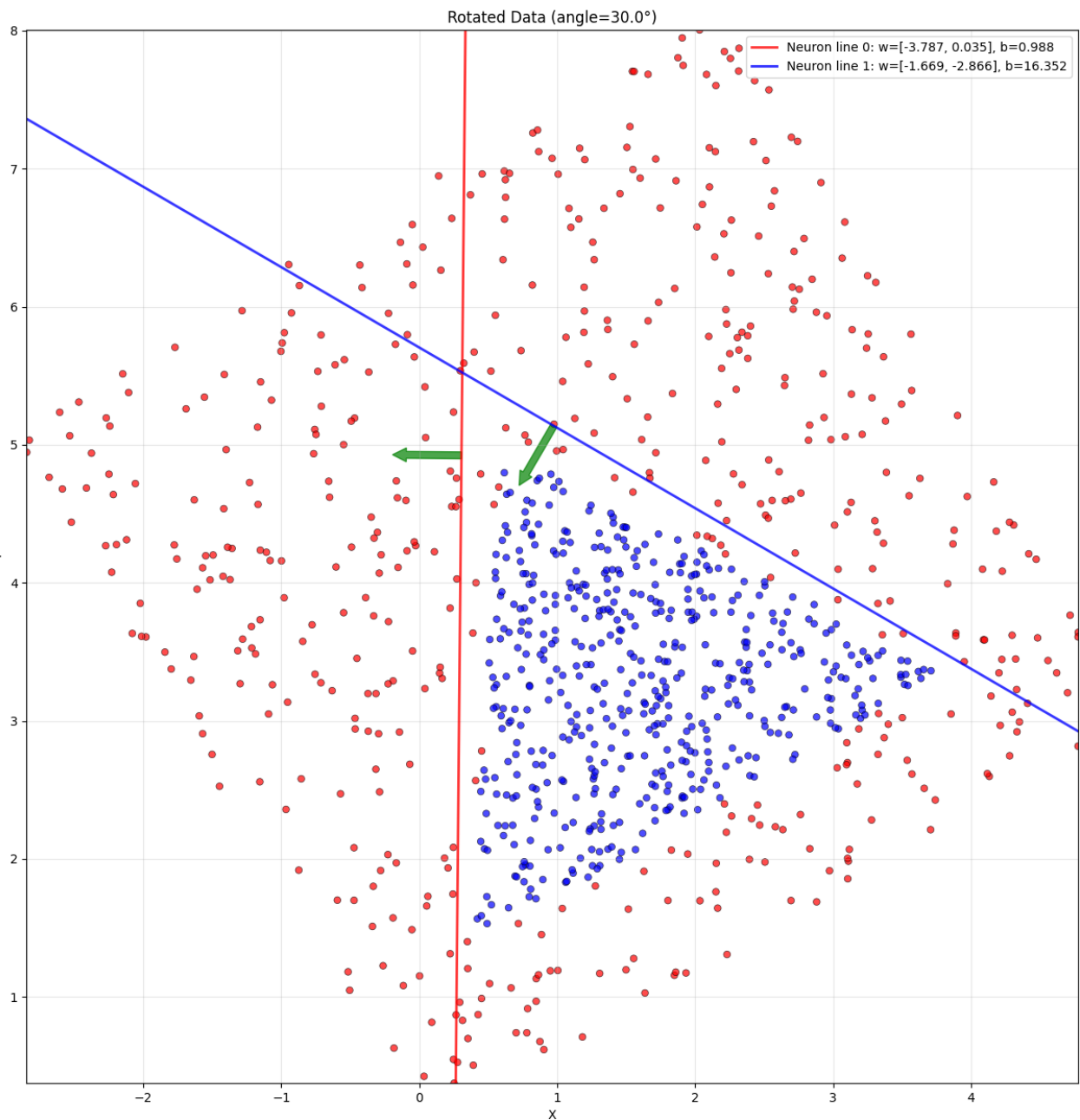


Рисунок 3 - Модель “Треугольник”, после применения преобразования поворота на 30 градусов

Веса сети поменялись, по сравнению с моделью на рисунке 2, в соответствии с изменёнными данными. Это позволяет модели предсказывать отношение точки к области решений с неизменной точностью.

Например, confidence для точки 3, 3 до манипуляций с весами и данными: 0.87179654, и confidence после поворота весов и данных также 0.87179654

2.5 Аффинное преобразование растяжение/сжатие

Для моделирования растяжения/сжатия сконструируем матрицу M из формулы 3 несколько иначе:

$$\begin{pmatrix} k_x & 0 \\ 0 & k_y \end{pmatrix}$$

Новые координаты тогда принимают вид:

$$\begin{cases} x' = x * k_x \\ y' = y * k_y \end{cases}$$

Из вида системы уравнений понятно, что мы просто растягиваем наши оси, если коэффициент меньше 1 и сжимаем, если больше 1.

Для n -мерного случая адаптировать матрицу также не составляет труда, просто ставим нужный коэффициент на тот элемент диагонали, ось которой хотим растянуть/сжать.

Пример получения обобщенной матрицы преобразования на Java:

```
public double[][] createAffineMatrix(int dimensions) {  
    double[][] matrix = createIdentityMatrix(dimensions);  
  
    for (int i = 0; i < dimensions; i++)  
        matrix[i][i] = scaleFactor;  
  
    return matrix;  
}
```

2.5.1 Ортогональные и не ортогональные матрицы аффинных преобразований

Для корректного применения преобразований к весам модели, нужно учитывать один нюанс, а именно ортогональность полученной аффинной матрицы.

Ортогональность простыми словами означает перпендикулярность или независимость между объектами. Это значит, что они находятся под прямым углом друг к другу, как оси координат (X и Y) на графике.

Изм	Лист	№ докум.	Подп.	Дата
-----	------	----------	-------	------

Чтобы узнать, что перед нами ортогональная матрица нужно выяснить:

- является ли она квадратной;
- выполняется одно из условий:

либо $A * A^T = E$, где A^T — транспонированная, а E — единичная матрица,
либо обратная матрица A^{-1} совпадает с транспонированной A^T .

Знание того факта, что аффинная матрица ортогональна, подскажет нам, нужно ли компенсировать веса перед применением преобразования или нет.

Компенсировать – значит применять к матрице весов обратную матрицу аффинного преобразования, с целью корректного наложения изменённых весов на данные.

Простая аналогия, для лучшего понимания вышеописанного.

При повороте картинки на 30 градусов против часовой стрелки, требует от наблюдателя “повернуть” свои глаза также на 30 градусов против часовой, чтобы увидеть такую же картинку. Но, например, при растяжении изображения в 5 раз, если наблюдатель также “увеличит” глаза в 5 раз, то он просто ничего не увидит. В данном преобразовании, глаза наблюдателя нужно пропорционально “уменьшить” в 5 раз, чтобы увидеть ту же картинку.

На этой аналогии можно понять, что аффинная матрица поворота – ортогональна, а матрица расширения – нет.

Докажем это кодом на Python:

```
import numpy as np

angle = 30.3
angle_rad = np.radians(angle)
rotate = np.array([
    [np.cos(angle_rad), -np.sin(angle_rad)],
    [np.sin(angle_rad), np.cos(angle_rad)]
])

print(rotate.T)
print()
print(np.linalg.inv(rotate))
print()
```

Изм	Лист	№ докум.	Подп.	Дата

```

print(rotate @ rotate.T)

print()
print()

scale_x = 5
scale_y = 5
scale = np.array([
    [scale_x, 0],
    [0, scale_y]
])

print(scale.T)
print()
print(np.linalg.inv(scale))
print()
print(scale @ scale.T)

```

Результат:

```

[[ 0.86339555  0.50452762]
 [-0.50452762  0.86339555]]

[[ 0.86339555  0.50452762]
 [-0.50452762  0.86339555]]

# матрицы равны

[[ 1.0000000e+00 -2.23418993e-17]
 [-2.23418993e-17  1.0000000e+00]]

# получили единичную матрицу

# значит матрица - ортогональна

[[5 0]
 [0 5]]

[[0.2 0.  ]]
```

```

[0.  0.2]

# матрицы не равны

[[25  0]

 [ 0 25]]

# получили не единичную матрицу

# значит матрица - не ортогональна

```

Таким образом, в преобразовании растяжения/сжатия для изменения весов будем применять обратную аффинную матрицу.

2.5.2 Визуализация модели сети с применением растяжения/сжатия

Условия аналогичны случаю с поворотом, только к весам применяем обратную аффинную матрицу.

Для примера сделаем сжатие в 2 раза:

Изм	Лист	№ докум.	Подп.	Дата
-----	------	----------	-------	------

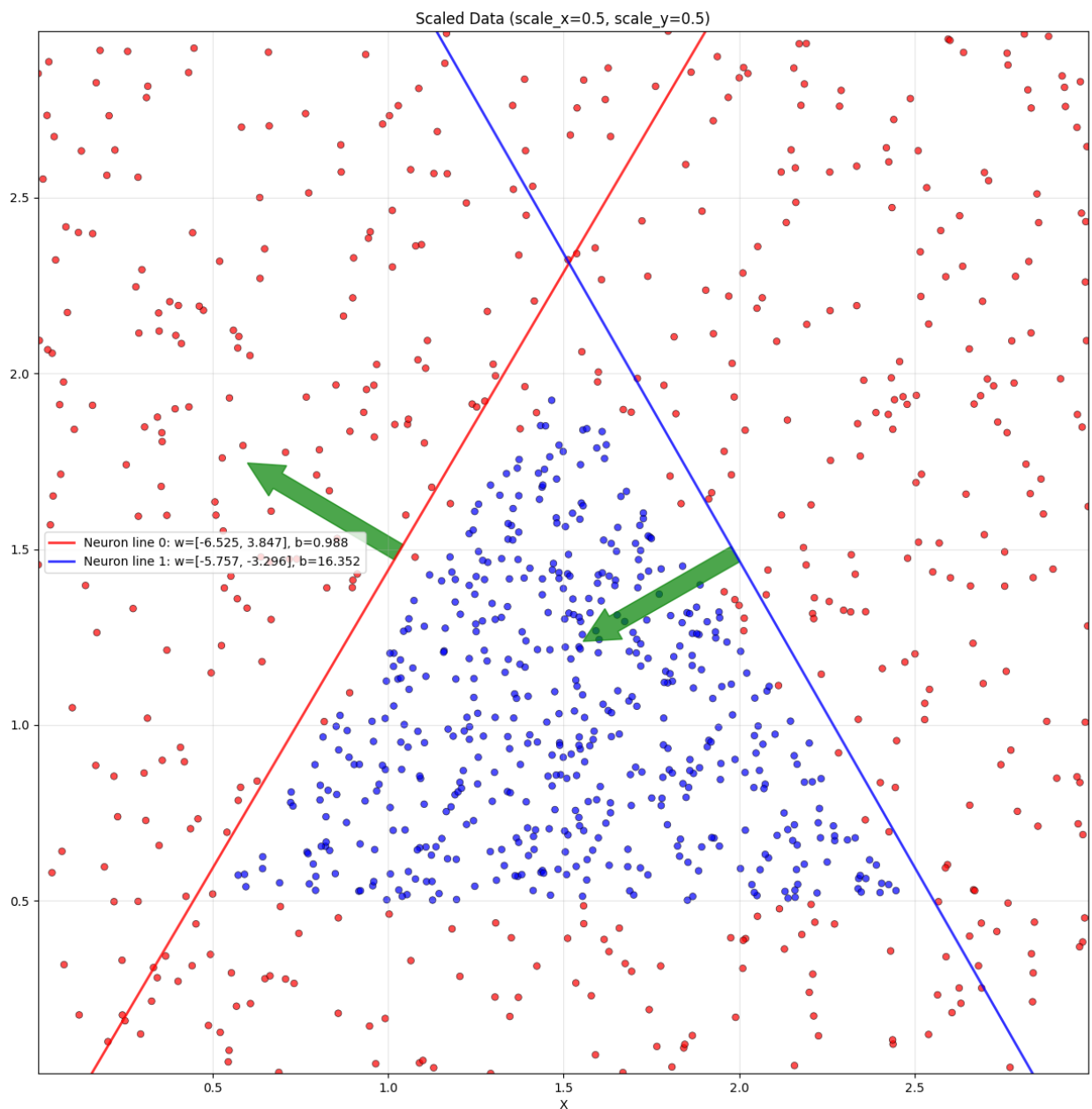


Рисунок 4 - Модель “Треугольник”, после применения преобразования сжатия в 2 раза

Веса сети также поменялись, в соответствии с изменёнными данными. Результат предсказаний не изменился.

2.6 Аффинное преобразование расширения

Для моделирования расширения сконструируем матрицу M из формулы 3 следующим образом:

Изм	Лист	№ докум.	Подп.	Дата

$$\begin{pmatrix} 0 & k_{xy} \\ k_{yx} & 0 \end{pmatrix}$$

Новые координаты принимают вид:

$$\begin{cases} x' = x + k_{xy} * y \\ y' = k_{yx} * x + y \end{cases}$$

Из вида системы уравнений понятно, что мы растягиваем наши координаты вправо и вверх для x' и в противоположную сторону – вниз и влево для y' .

Для n-мерного случая это обобщается следующим образом: мы применяем расширение по координате относительно другой координаты. А значит мы делаем тоже самое что и для поворота: вставляем коэффициент расширения относительно требуемых координат, но оставляя диагональ нетронутой.

Пример получения обобщенной матрицы преобразования на Java:

```
private double[][] createAffineMatrix(int dimensions, int axis1, int axis2)
{
    double[][] matrix = createIdentityMatrix(dimensions);

    matrix[axis1][axis2] = shear;
    matrix[axis2][axis1] = shear;

    return matrix;
}
```

Если сравнить все три преобразование, можно сделать интересный вывод: поворот осуществляется одновременным применением растяжения и сжатия, используя для этого тригонометрию. Это особенно хорошо видно, при сравнении кода для получения матриц каждого из преобразований.

2.6.1 Визуализация модели сети с применением расширения

Для корректной компенсации расширения, будем делать по аналогии с преобразованием растяжения/сжатия – к весам применяем обратную аффинную матрицу.

Для примера сделаем расширение на коэффициент 0.3:

Изм	Лист	№ докум.	Подп.	Дата
-----	------	----------	-------	------

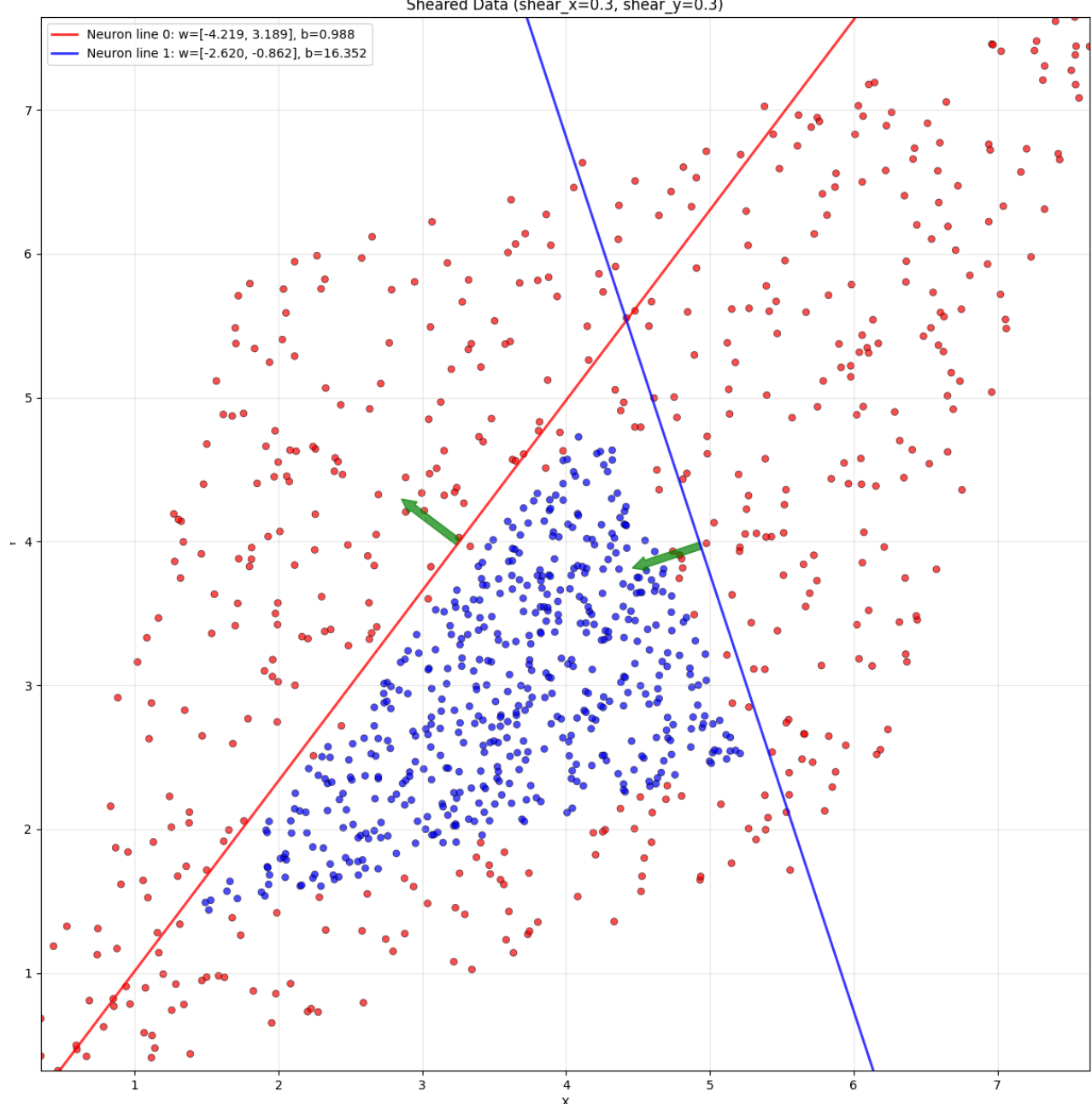


Рисунок 5 - Модель “Треугольник”, после применения преобразования
расширение на коэффициент 0.3

2.7 Создание многослойной бинарной модели “Два треугольника”

После проведения всех экспериментов с преобразованиями на однослоиной модели “Треугольник”, нужно выяснить, будет ли всё работать также хорошо и для многослойных моделей.

Для этого усложним текущую модель, добавив ещё один треугольник. Она всё ещё будет бинарной, то есть на выходе мы будем узнавать принадлежит ли

Изм	Лист	№ докум.	Подп.	Дата

точка одному из треугольников или нет. Для чёткого разделения этих треугольников нужно усложнить архитектуру модели: во-первых, увеличить количество нейронов на первом слое, по 3 на каждый треугольник и, во-вторых, добавить второй скрытый слой, который будет разделять области решений двух треугольников. Итоговая архитектура: 2 – 6 – 2 – 1.

2.7.1 Обоснование выбора слоя для применения преобразований

Аффинные преобразования будут применяться только к первому скрытому слою. Или можно сказать иначе, только к слою, который непосредственно работает с входными данными.

Чтобы понять, почему нужно делать, так, а не иначе, нужно вспомнить как вообще работают сети, основанные на полносвязных (dense) слоях.

Каждый полносвязный слой в нейронной сети выполняет преобразование по формуле 1. Из неё видно, что активация нейрона вычисляется по значению активации предыдущего нейрона, кроме первого слоя. Он работает непосредственно с исходными данными. Отсюда можно сделать вывод, что если при применении преобразования, первый скрытый слой выдаст тот же результат, как если бы этих преобразований не было, то все остальные слои автоматически сработают правильно и результат будет корректным.

Что бы это доказать, нужно сравнить активации нейронов первых скрытых слоёв до всех преобразований и после изменения весов и входных данных. Применим преобразование поворота на 30 градусов к модели “Два треугольника”, со входной точкой 3, 3:

```
===== Before weight and data transformation =====
----- First hiden layer weights -----
-0.2565350830554962 0.9576932787895203
0.27009227871894836 0.1462019383907318
-0.019547274336218834 -0.04933701455593109
1.410359501838684 -1.0748653411865234
0.05246511474251747 -2.7907469272613525
-0.7326761484146118 -0.7785971164703369
```

Изм	Лист	№ докум.	Подп.	Дата

----- Neuron activations -----

3.0 3.0

-0.3422616422176361 -0.9828152060508728 -0.9952481389045715
0.775757372379303 -0.9999905228614807 0.49449196457862854

-0.9999547600746155 -0.7523653507232666

0.985088050365448

----- Prediction -----

Confidence: 0.985088050365448

===== After weight and data transformation =====

----- First hiden layer weights -----

0.7476058476903883 0.6512082321163086
0.24999965462541984 -0.1783956796000739
-0.05290834426082423 -0.004116314716547248
-0.3459362576915701 -1.7391887567843332
-2.4839285710086605 -1.2732320504960983
-1.0213258509573662 0.3161033286724542

----- Neuron activations -----

4.012990772626067 -1.3769186827180608

-0.3422614336013794 -0.9828152060508728 -0.9952481389045715
0.7757572531700134 -0.9999905228614807 0.4944923520088196

-0.9999547600746155 -0.75236576795578

0.9850881695747375

----- Prediction -----

Confidence: 0.9850881695747375

На полученных данных, можно увидеть, как активации нейронов первого скрытого слоя до и после преобразований равны до 5-6 знаков после запятой. А это значит, что следующие слои, используя эти данные, не нарушат результат предсказания.

Изм	Лист	№ докум.	Подп.	Дата
-----	------	----------	-------	------

МИВУ.09.03.02-00.000

ПЗ

Лист

27

2.7 Визуализация применения аффинных преобразований к модели “Два треугольника”

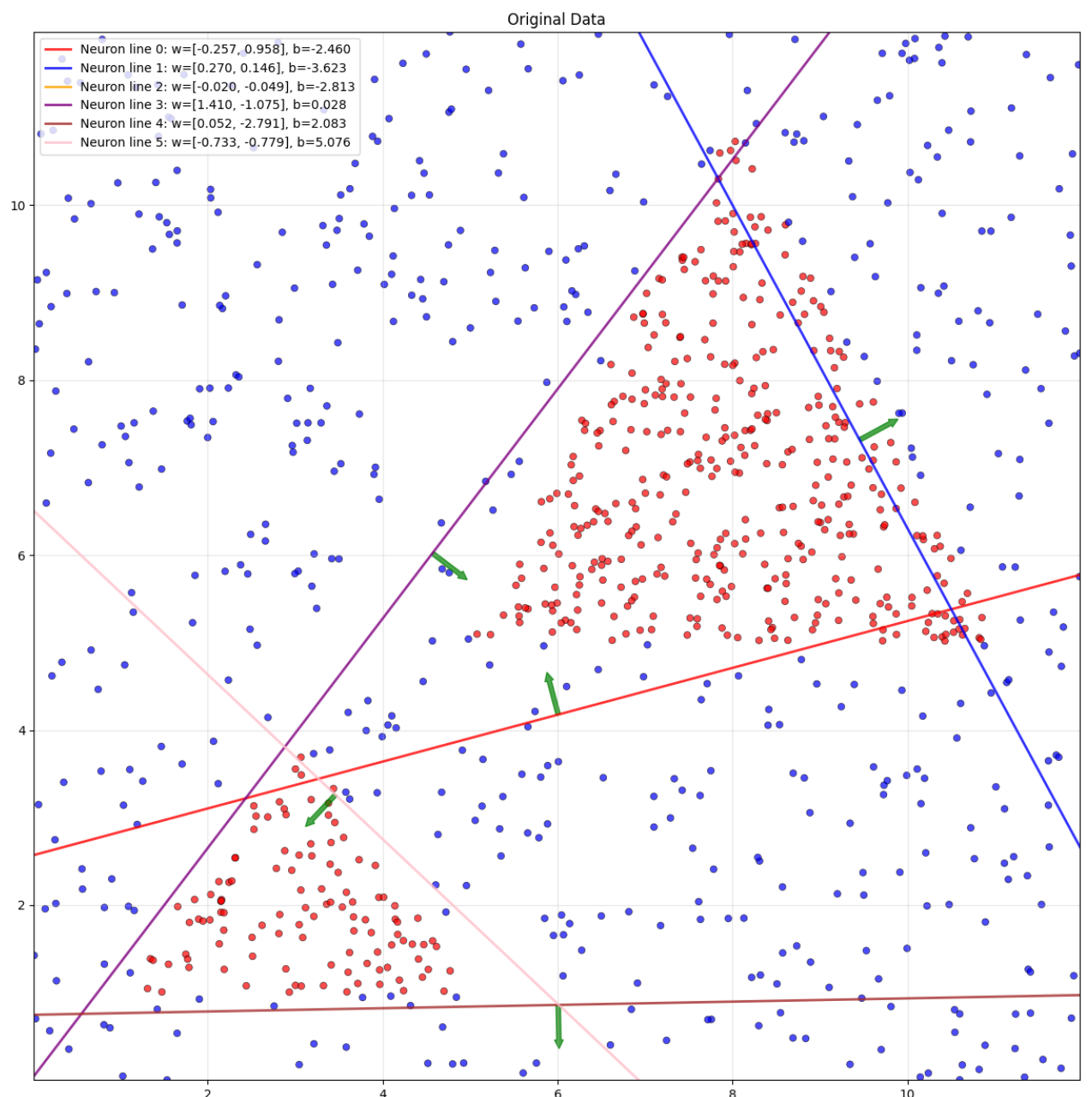


Рисунок 6 - Модель “Два треугольника”, до применения каких-либо преобразований

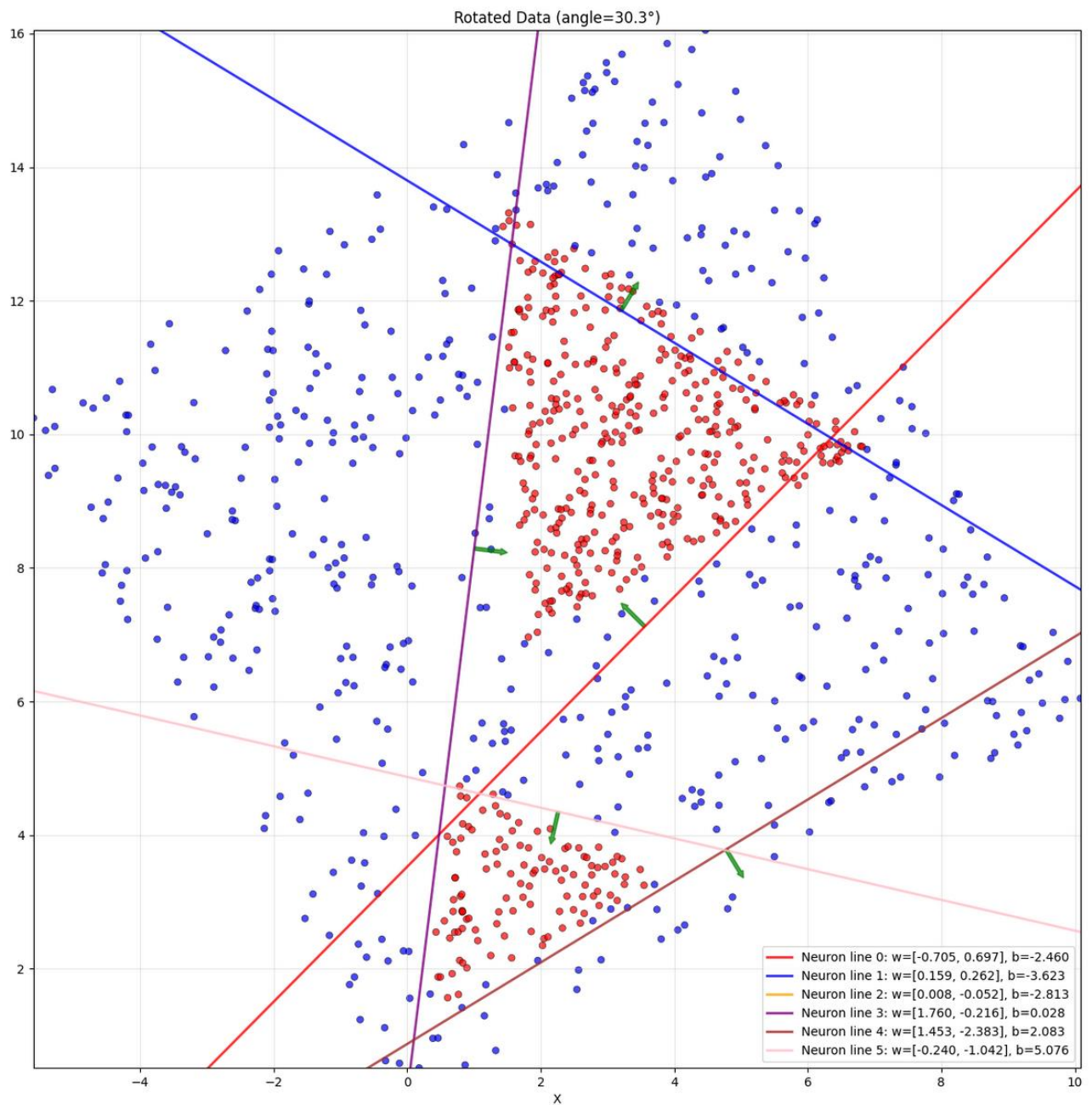


Рисунок 7 - Модель “Два треугольника”, после применения преобразования
поворота на 30 градусов

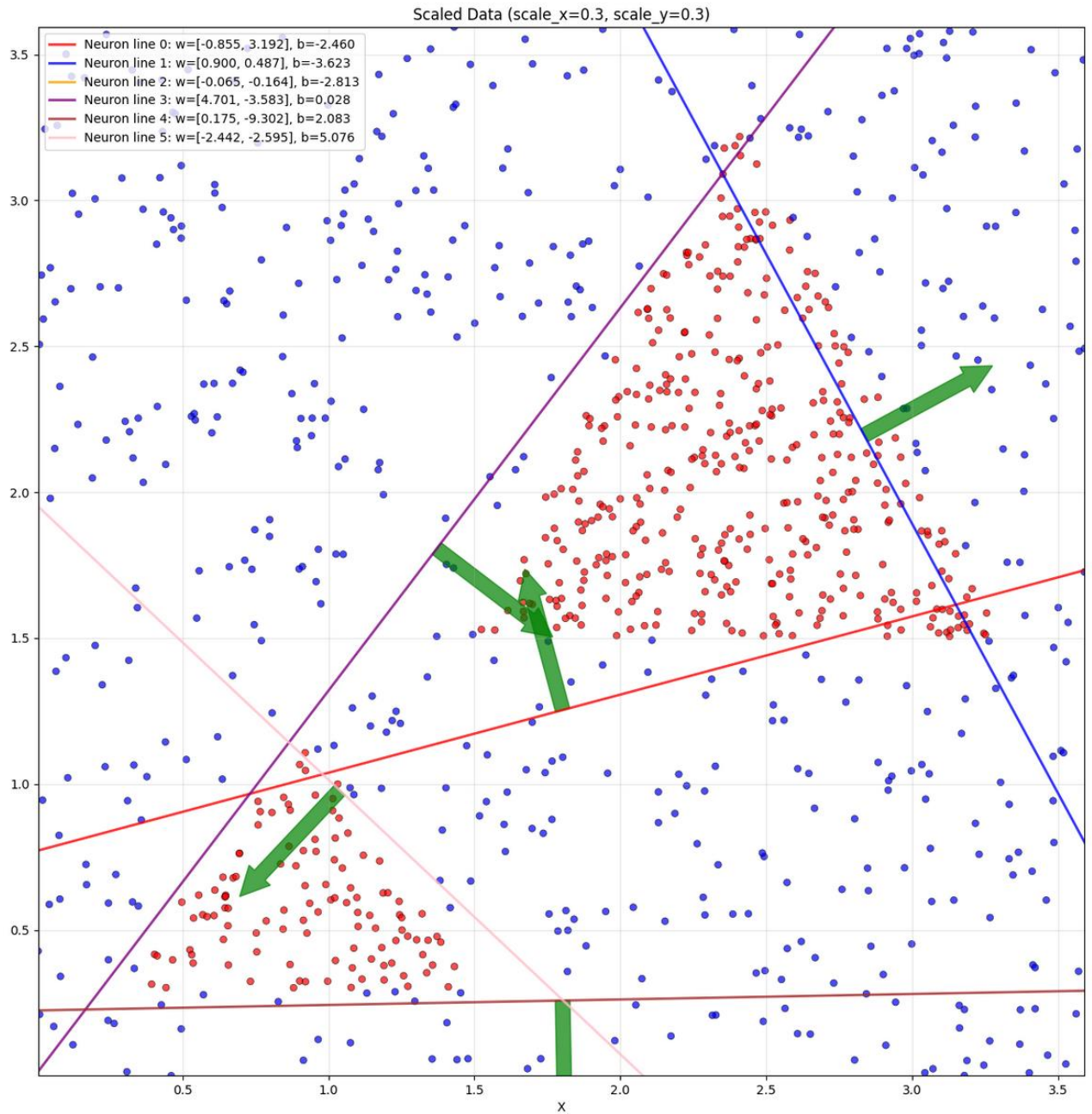


Рисунок 8 - Модель “Два треугольника”, после применения преобразования сжатия на коэффициент 0.3

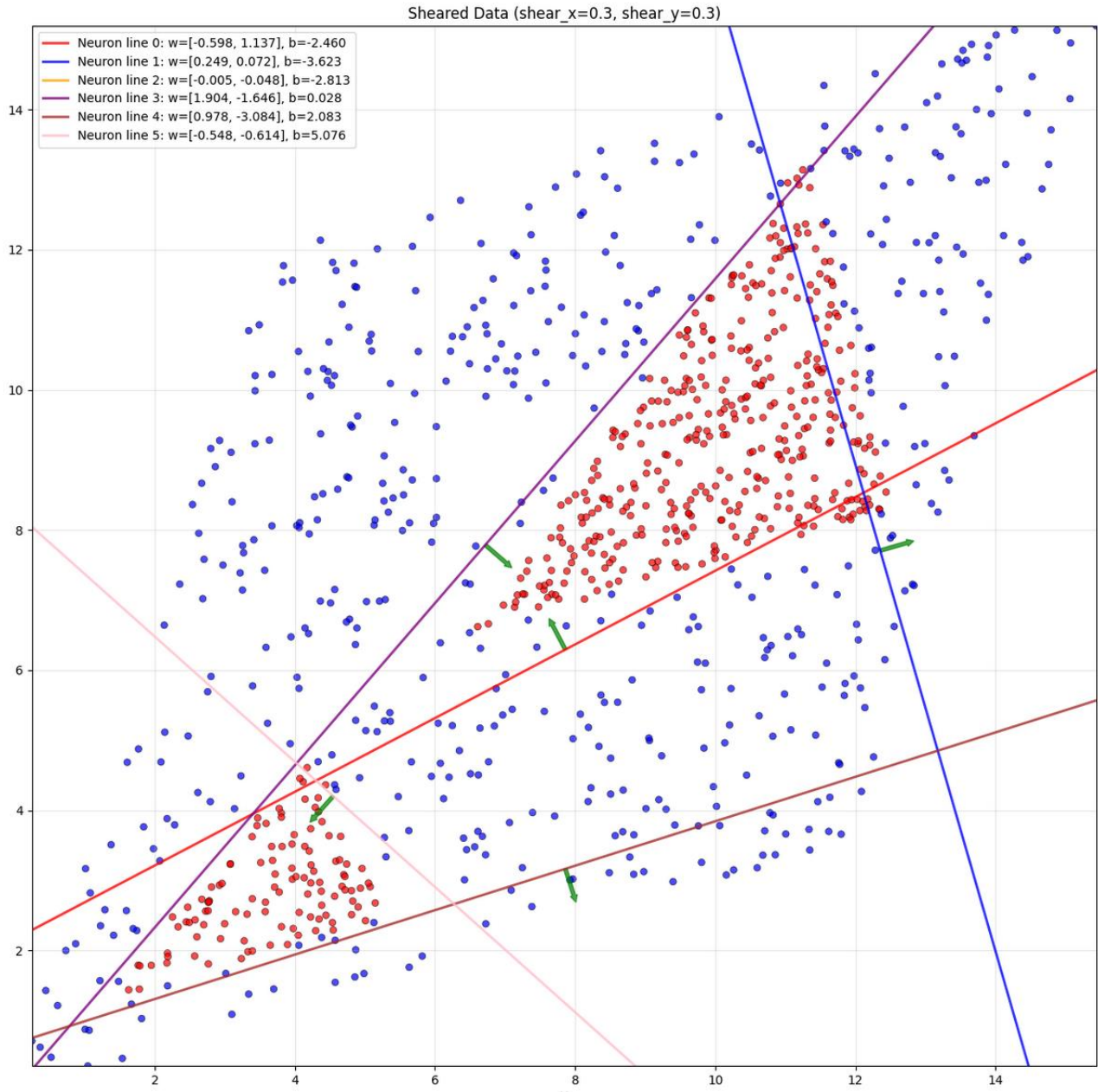


Рисунок 9 - Модель “Два треугольника”, после применения преобразования
расширение на коэффициент 0.3

2.8 Создание многослойной модели “MNIST”

Прежде все модели получали на вход двумерную точку, с координатами x , y . Это позволило нам визуализировать результаты. Но теперь, имея достаточно информации и экспериментальных данных, можно расширить применение преобразований до n -мерных данных.

Для этого заключительной экспериментальной моделью послужит нейронная сеть на базе датасета чисел “MNIST”, где каждая цифра от 0-9 представлена изображением 28*28 пикселей. Её архитектура: 784 – 64 – 32 – 16 – 10.

Каждый нейрон на входном слое будет обрабатывать 784 пикселя входного изображения, или в геометрическом смысле он будет представлять собой гиперплоскость размерностью 784.

Имея обобщённые схемы построения матриц преобразований, не составит труда применить эти преобразования к модели и данным.

Для лучшей наглядности, будем применять преобразования ко всем осям последовательно. Так для матриц поворот между axis1 и axis2, результирующей будет все последовательно перемноженные матрицы поворотов. Похожим образом поступим и с другими преобразованиями.

Результаты после поворота изображения цифры 3 и весов первого скрытого слоя:

```
===== Before weight and data transformation =====
----- First hiden layer weights -----
 5.7705078397325956E-39    4.703835244793152E-39    -8.87386489726088E-38    -
6.339193992912607E-41      5.253545014169277E-39      1.5848125112127951E-40
3.264153814232014E-39 ...
 1.6218250075510065E-39    5.218488730487263E-39    5.335082367912945E-39    -
1.9093742550273876E-39      3.201489148205872E-39      6.238678854066588E-38    -
6.376859494335194E-39 ...
 -1.4172003992979751E-39   -4.3820831043995306E-39   -6.025940447445423E-38    -
6.51858822231547E-39       6.97999544922186E-38       2.940001249569004E-39    -
3.0647378323708777E-40 ...
 ...
----- Neuron activations -----
 ... 241.0 255.0 255.0 255.0 255.0 255.0 244.0 237.0 128.0 0.0 0.0 0.0 0.0
0.0 0.0 0.0 0.0 0.0 0.0 0.0 0.0 0.0 50.0 235.0 255.0 245.0 254.0 246.0
245.0 245.0 245.0 248.0 ...
 232.97018432617188     627.9869995117188     0.0     0.0     1112.656982421875
629.7344970703125 0.0 0.0 261.0110168457031 879.9109497070312 278.156005859375
209.40101623535156 ...
```

Изм	Лист	№ докум.	Подп.	Дата

1049.260009765625	951.4986572265625	836.6201171875	0.0	1646.404296875
20.05770492553711	0.0	1008.3165283203125	94.4949722290039	604.4305419921875
176.78518676757812	...			
109.54348754882812	1440.6514892578125	915.6256713867188	0.0	
1968.618896484375	3928.3076171875	152.3181610107422	375.6053771972656	
1093.341552734375	...			
0.0	0.0	0.0	1.0	0.0
0.0	0.0	0.0	0.0	0.0
0.0	0.0	0.0	0.0	0.0
----- Prediction -----				
Predicted digit:	3			
Confidence:	1.0			
===== After weight and data transformation =====				
----- First hidden layer weights -----				
1.839428899626901E-4	8.9961941361909E-5	1.0014484522300589E-4		
1.1148036461767837E-4	1.240989655295359E-4	1.381458815488908E-4		
1.537827854364992E-4	...			
2.1830041127386877E-4	1.067653596302841E-4	1.1885026327233648E-4		
1.3230307216514982E-4	1.4727862120277814E-4	1.6394927123321212E-4		
1.825068928428718E-4	...			
-4.259201622248689E-4	-2.0830707110614785E-4	-2.3188560716871792E-4	-	
2.581330270089811E-4	-2.873514248960607E-4	-3.198770895245563E-4	-	
3.5608437452402394E-4	...			
...				
----- Neuron activations -----				
...	6.764818237218361E-8	3.308506143967021E-8	3.6830000630381116E-8	
4.099883413870403E-8	4.56395430888585E-8	5.0805539648099246E-8		
5.655628177322188E-8	6.295795754098908E-8	...		
232.97021484375	627.9871826171875	0.0	0.0	1112.6568603515625
629.734619140625	0.0	0.0	261.0109558105469	879.9109497070312
209.4010467529297	...			278.1557312011719
1049.260498046875	951.4990234375	836.6199951171875	0.0	1646.404296875
20.057880401611328	0.0	1008.316650390625	94.494873046875	604.4302978515625
176.78517150878906	...			

Изм	Лист	№ докум.	Подп.	Дата
-----	------	----------	-------	------

МИВУ.09.03.02-00.000

ПЗ

Лист
33

109.54325103759766 1440.6514892578125 915.62548828125 0.0 1968.619384765625
3928.30810546875 152.3181610107422 375.60498046875 1093.342041015625 ...

0.0 0.0 0.0 1.0 0.0 0.0 0.0 0.0 0.0 0.0 0.0

----- Prediction -----

Predicted digit: 3

Confidence: 1.0

Этот эксперимент показал подобные результаты с экспериментом с моделью “Два треугольника”. Активации нейронов до преобразований также примерно равны активациям нейронов после преобразований, с погрешностью в несколько знаков после запятой.

Изм	Лист	№ докум.	Подп.	Дата
-----	------	----------	-------	------

МИВУ.09.03.02-00.000

ПЗ

Лист

34

3. Исследование работы модели

Для исследования того, что моделирование аффинных преобразований над признаковым пространством выполняется корректно и соответствует поставленной задаче: модифицирование весов модели без изменения её выходной точности на валидационном множестве исходной задачи, выполним ряд экспериментов. За основу возьмём две последние многослойные модели “Два треугольника” и “MNIST”.

Для модели “Два треугольника” – 50 экспериментов для различных точек x, y . Каждый эксперимент будет состоять из:

- значений принадлежности точки к одному из треугольников (prediction) и уверенности (confidence) до преобразований;
- значений принадлежности точки к одному из треугольников (prediction) и уверенности (confidence) после преобразований только точки;
- значений принадлежности точки к одному из треугольников (prediction) и уверенности (confidence) после преобразований только весов;
- значений принадлежности точки к одному из треугольников (prediction) и уверенности (confidence) после преобразований точки и весов одновременно.
- для значений до и после вычисляется соответствие результатов и возможные изменения между ними.

Подробные результаты см. в приложениях А, С, Е.

Для MNIST-а это будет по 5 штук на каждую цифру от 0 – 9. Каждый эксперимент будет состоять из:

- значений предсказанной цифры (prediction) и уверенности (confidence) до преобразований;
- значений предсказанной цифры (prediction) и уверенности (confidence) после преобразований только изображения;
- значений предсказанной цифры (prediction) и уверенности (confidence) после преобразований только весов;

Изм	Лист	№ докум.	Подп.	Дата
-----	------	----------	-------	------

- значений предсказанной цифры (prediction) и уверенности (confidence) после преобразований изображения и весов одновременно;
- для значений до и после вычисляется соответствие результатов и возможные изменения между ними.

Подробные результаты см. в приложениях В, Д, F.

3.1 Анализ результатов экспериментов

Из результатов, представленных в таблицах Приложений А-Г, следует, что все проведённые эксперименты подтверждают теоретические ожидания.

Полное совпадение точности при согласованных преобразованиях. Когда аффинное преобразование применяется одновременно и к входным данным, и к весам первого слоя модели, точность классификации остаётся неизменной. Предсказания модели до и после таких преобразований полностью идентичны.

Снижение точности при частичных преобразованиях. Если преобразование применяется только к данным или только к весам, точность модели существенно падает. Это особенно заметно на более простой архитектуре "Два треугольника", где малое количество нейронов делает сеть чувствительной даже к небольшим рассогласованиям между данными и весами.

Влияние сложности модели. На сложной модели "MNIST" нарушения точности при частичных преобразованиях также наблюдаются, но наиболее выражены они при преобразовании поворота. Это связано с тем, что поворот сильнее нарушает пространственные соотношения признаков, важных для распознавания рукописных цифр.

Таким образом, эксперименты доказывают, что сохранение точности нейронной сети при аффинных преобразованиях входных данных возможно при согласованном преобразовании её весовых параметров.

Изм	Лист	№ докум.	Подп.	Дата
-----	------	----------	-------	------

МИВУ.09.03.02-00.000

ПЗ

Лист

36

ЗАКЛЮЧЕНИЕ

В рамках данной работы было проведено исследование возможности применения аффинных преобразований к весам обученных нейронных сетей с сохранением их исходной точности предсказаний. Была достигнута поставленная цель – разработан и реализован алгоритм модификации весов модели без её дообучения, экспериментально подтверждена его корректность и эффективность.

Строго доказано, что аффинное преобразование, применённое к входным данным модели, может быть скомпенсировано соответствующим преобразованием весов первого полносвязного слоя. Для сохранения функционального отображения модели необходимо применять к весам обратное преобразование относительно преобразования данных, но только если матрица этого преобразования не ортогональна.

Был разработан универсальный алгоритм для трёх базовых аффинных преобразований: поворота, масштабирования и расширения. И было экспериментально доказано его работоспособность.

Таким образом, работа продемонстрировала принципиальную возможность и практическую реализуемость безопасного преобразования весов обученных нейронных сетей через аффинные преобразования. Полученные результаты подтверждают, что нейронные сети, несмотря на свою сложность, обладают определённой алгебраической структурой, позволяющей осуществлять контролируемые манипуляции с их параметрами при сохранении функциональной целостности.

Изм	Лист	№ докум.	Подп.	Дата
-----	------	----------	-------	------

СПИСОК ИСПОЛЬЗОВАННЫХ ИСТОЧНИКОВ

1. Шилдт, Герберт Java. Полное руководство: 12-е изд. : Пер. с англ. – СПб. : ООО “Диалектика”, 2023 – 1638 с.
2. Гудфеллоу Я., Бенджио И., Курвилль А. Глубокое обучение / пер. с англ. А. А. Слинкина. – 2-е изд., испр. – М.: ДМК Пресс, 2018. – 652 с.
3. Документация по Deeplearning4j [электронный ресурс]: Режим доступа: <https://deeplearning4j.konduit.ai/>.
4. Аффинные преобразования [электронный ресурс]: Режим доступа: https://en.wikipedia.org/wiki/Affine_transformation.

Изм	Лист	№ докум.	Подп.	Дата
-----	------	----------	-------	------

МИВУ.09.03.02-00.000 ПЗ Лист
38

Приложение А «Таблица экспериментов с поворотом на 256 градусов для модели Два треугольника»

№	x	y	Ответ	До преобразования (prediction*)	До преобразования (confidence*)	После преобразования точкой (prediction*)	После преобразования точкой (confidence*)	После преобразования весов (prediction*)	После преобразования весов (confidence*)	После всех преобразований (prediction*)	После всех преобразований (confidence*)	Создание упрощенности после преобразованного вектора	Изменение упрощенности после преобразованного вектора	Создание упрощенности после преобразованного вектора	Изменение упрощенности после преобразованного вектора
1	0.718883	4.466553	7.792783	out	0.013652	out	0.039955	out	0.011305	out	0.011009	0.018946	истина	0.000000	
2	2.915012	8.793428	out	out	0.010910	out	0.027332	out	0.012836	out	0.100910	-0.073178	истина	0.000000	
3	10.868668	5.146038	in	in	0.897826	out	0.012321	out	0.012846	out	-0.885305	-0.884980	ложь	-0.933122	
4	9.770523	5.194693	in	in	0.945933	out	0.029365	out	0.945933	in	-0.916389	-0.912660	ложь	-0.913945	
5	6.421433	1.332365	in	in	0.926742	out	0.014082	out	0.012797	in	0.976742	-0.044611	истина	0.000000	
6	1.552912	11.075804	out	out	0.071498	out	0.059556	out	0.012955	out	0.977043	-0.057203	ложь	-0.964205	
7	10.725274	5.735569	in	in	0.777043	out	0.019840	out	0.012838	in	0.977043	-0.93986	ложь	-0.940219	
8	5.716580	3.165688	in	in	0.950303	out	0.029044	out	0.012811	in	0.953303	-0.971161	истина	0.000000	
9	3.381909	8.196489	in	in	0.984033	out	0.039389	out	0.012871	in	0.984033	-0.954444	ложь	-0.807647	
10	8.025612	1.830734	in	in	0.820457	out	0.028851	out	0.012811	in	0.820457	-0.791607	ложь	-0.876690	
11	4.403111	4.915685	out	out	0.011815	out	0.011198	out	0.012876	out	0.011815	-0.006617	истина	0.000000	
12	6.668112	5.633243	in	in	0.888951	out	0.039590	out	0.012830	in	0.889519	-0.859929	ложь	-0.772781	
13	5.970264	6.225935	in	in	0.742086	out	0.014304	out	0.012846	in	0.742086	-0.918490	ложь	-0.79239	
14	10.339024	3.259314	in	in	0.946845	out	0.028355	out	0.012810	in	0.946845	-0.954444	ложь	-0.901941	
15	3.966670	1.059733	out	out	0.010959	out	0.010105	out	0.012834	out	0.010959	-0.000057	истина	0.000000	
16	9.105072	6.557457	in	in	0.983562	out	0.028379	out	0.012830	in	0.983562	-0.957284	ложь	-0.972838	
17	8.692380	5.592625	out	out	0.021800	out	0.029177	out	0.012815	out	0.021800	-0.003736	истина	0.000000	
18	9.498603	9.739852	out	out	0.019988	out	0.039030	out	0.012830	out	0.019988	-0.019242	истина	0.000000	
19	9.713805	8.338839	in	in	0.900946	out	0.039464	out	0.012861	in	0.900946	-0.871482	ложь	-0.888396	
20	8.290909	9.321138	out	out	0.011006	out	0.030267	out	0.012974	out	0.011006	-0.019595	истина	0.000000	
21	2.566664	6.161905	out	out	0.010103	out	0.039528	out	0.012928	out	0.010103	-0.019515	истина	0.000000	
22	2.659387	6.553192	in	in	0.576309	out	0.049164	out	0.012836	in	0.976309	-0.951393	ложь	-0.964743	
23	9.333763	3.463310	out	out	0.092048	out	0.011019	out	0.012883	out	0.092048	-0.080228	истина	0.000000	
24	11.134523	4.545376	in	in	0.831754	out	0.038759	out	0.012845	in	0.831754	-0.803996	ложь	-0.818910	
25	9.453466	7.739161	in	in	0.558519	out	0.027642	out	0.012814	in	0.835619	-0.829177	ложь	-0.844005	
26	4.522678	1.265748	in	in	0.024675	out	0.079792	out	0.012829	in	0.979792	-0.950582	ложь	-0.966962	
27	7.607137	2.230707	out	out	0.143867	out	0.039210	out	0.012811	out	0.143868	-0.114820	истина	0.000000	
28	3.410720	2.715500	in	in	0.575761	out	0.038875	out	0.012838	in	0.979762	-0.950886	ложь	-0.966953	
29	5.808163	4.453376	out	out	0.018694	out	0.038930	out	0.012816	out	0.018694	-0.010236	истина	0.000000	
30	3.11	8.703228	10.721523	out	out	0.228629	out	0.029706	out	0.012813	out	0.228629	-0.098235	истина	0.000000
31	1.115130	1.223379	out	out	0.020923	out	0.010822	out	0.012777	out	0.020923	-0.009841	истина	0.000000	
32	0.819743	1.323585	out	out	0.010822	out	0.010822	out	0.012814	in	0.871804	-0.842152	ложь	-0.858949	
33	5.991563	6.706435	out	out	0.010905	out	0.039652	out	0.012855	out	0.010905	-0.019020	истина	0.000000	
34	4.700014	9.126263	out	out	0.01040	out	0.039048	out	0.012808	out	0.01040	-0.018038	истина	0.000000	
35	8.784705	6.103191	in	in	0.985049	out	0.036878	out	0.012833	in	0.985049	-0.958172	ложь	-0.972217	
36	7.887260	1.287769	out	out	0.066574	out	0.015987	out	0.012797	in	0.966574	-0.950877	ложь	-0.953777	
37	4.958366	2.223794	out	out	0.032880	out	0.028645	out	0.012813	out	0.032880	-0.004235	истина	0.000000	
38	1.115130	1.226435	out	out	0.159314	out	0.010938	out	0.012769	out	0.159314	-0.147745	истина	0.000000	
39	8.980555	8.838198	out	out	0.010905	out	0.039784	out	0.012813	out	0.010905	-0.018878	истина	0.000000	
40	10.181071	6.179089	in	in	0.844038	out	0.015307	out	0.012845	in	0.843308	-0.827731	ложь	-0.830193	
41	2.237359	7.911226	out	out	0.011011	out	0.039800	out	0.012868	out	0.011011	-0.002067	истина	0.000000	
42	0.478516	9.843496	out	out	0.010103	out	0.011109	out	0.012787	out	0.010103	-0.000097	истина	0.000000	
43	2.566566	4.970932	out	out	0.0101025	out	0.028944	out	0.012860	out	0.0101025	-0.019798	истина	0.000000	
44	6.071536	8.838198	out	out	0.010938	out	0.039784	out	0.012805	out	0.010938	-0.018846	истина	0.000000	
45	4.615802	1.526862	out	out	0.022274	out	0.038054	out	0.012813	out	0.022274	-0.194220	истина	0.000000	
46	1.536477	0.001555	out	out	0.012408	out	0.012408	out	0.012816	out	0.012408	-0.000777	истина	0.000000	
47	2.237359	9.161247	in	in	0.878086	out	0.039718	out	0.012868	in	0.878086	-0.848368	ложь	-0.865118	
48	6.955130	6.118203	in	in	0.971345	out	0.039503	out	0.012832	in	0.971345	-0.941842	ложь	-0.953513	
49	8.003185	8.169173	in	in	0.984478	out	0.039589	out	0.012870	in	0.984478	-0.954889	ложь	-0.971608	
50	4.154975	4.035421	out	out	0.226443	out	0.039550	out	0.012817	out	0.226443	-0.196931	истина	0.000000	

Приложение В «Таблица экспериментов с поворотом на 256 градусов для модели MNIST»

Изм	Лист	№ докум.	Подп.	Дата

МИВУ.09.03.02-00.000

ПЗ

Лист

40

Приложение С «Таблица экспериментов с растяжением в 2 раза для модели Два треугольника»

МИВУ.09.03.02-00.000

ПЗ

Лист

41

Приложение D «Таблица экспериментов с растяжением в 2 раза для модели MNIST»

Изм	Лист	№ докум.	Подп.	Дата

МИВУ.09.03.02-00.000

ПЗ

Пист

42

Приложение Е «Таблица экспериментов с расширением на коэффициент 0.2 для модели Два треугольника»

№	x	y	Ответ	До преобразования (prediction)	До преобразования (confidence)	После преобразования (prediction)	После преобразования (confidence)	После преобразования (весов (prediction))	После преобразования (confidence)	После преобразования (весов (prediction))	После преобразования (confidence)	После преобразования (весов (prediction))	После преобразования (confidence)	Создание я точки	Изменение уверенности я точки	Создание я весов	Изменение уверенности я весов
1	0.748883	4.465553	out	0.058330	out	0.007040	out	0.257380	out	0.058330	out	0.007040	out	-0.049467	истина	0.199050	истина
2	2.915012	7.797283	out	0.057039	out	0.035415	out	0.711415	out	0.008068	out	0.007040	out	0.000002	истина	0.000001	истина
3	8.794548	5.146038	in	0.871569	in	0.962739	in	0.983300	in	0.405668	in	0.715170	in	-0.160154	ложь	-0.863301	истина
4	9.720528	5.919338	in	0.916516	in	0.965482	in	0.983528	in	0.745517	in	0.963739	инстина	-0.537071	истина	-0.230965	истина
5	6.421433	5.919338	in	0.916516	in	0.965482	in	0.983528	in	0.745517	in	0.963739	инстина	-0.537071	истина	-0.230965	истина
6	1.552912	1.232665	out	0.044843	out	0.034109	out	0.704562	out	0.009522	out	0.034109	out	0.010733	ложь	0.929756	истина
7	10.75274	11.075804	out	0.716580	in	0.916516	in	0.983528	in	0.745517	in	0.963739	инстина	-0.230965	истина	-0.537071	истина
8	9.355639	6.009522	out	0.916516	in	0.965482	in	0.983528	in	0.745517	in	0.963739	инстина	-0.230965	истина	-0.537071	истина
9	3.381909	3.165688	in	0.916516	in	0.965482	in	0.983528	in	0.745517	in	0.963739	инстина	-0.230965	истина	-0.537071	истина
10	8.035612	8.109489	in	0.916516	in	0.965482	in	0.983528	in	0.745517	in	0.963739	инстина	-0.230965	истина	-0.537071	истина
11	4.403111	1.850754	in	0.816637	out	0.027775	out	0.007420	out	0.216514	out	0.027279	out	-0.020355	истина	0.188739	истина
12	4.668112	4.915685	out	0.916516	in	0.989802	out	0.234686	in	0.916516	in	0.989802	out	-0.681331	ложь	-0.981241	истина
13	5.970264	5.631243	in	0.916516	in	0.981418	out	0.062177	out	0.018083	in	0.981418	out	0.018641	ложь	-0.983335	истина
14	10.339024	6.223925	in	0.916516	in	0.981418	out	0.825397	out	0.009477	out	0.931532	инстина	-0.158646	ложь	-0.974565	истина
15	3.966670	1.259354	in	0.916516	in	0.981418	out	0.007042	in	0.009477	out	0.007042	инстина	-0.009091	истина	-0.017449	истина
16	9.105072	10.59733	out	0.916516	out	0.007042	out	0.007887	out	0.006925	out	0.007042	инстина	0.000000	истина	0.000000	истина
17	8.692580	6.557457	in	0.916516	in	0.981418	out	0.796698	in	0.500095	in	0.994279	инстина	-0.197581	ложь	-0.494184	истина
18	5.592615	3.198663	out	0.916516	out	0.008345	out	0.092097	out	0.009234	out	0.008345	инстина	0.000000	истина	0.000000	истина
19	3.478832	9.7151805	out	0.916516	out	0.007040	out	0.007033	out	0.007038	out	0.007040	инстина	-0.000007	истина	0.000000	истина
20	8.929009	8.338689	in	0.916516	in	0.980527	out	0.062797	in	0.992306	in	0.996027	ложь	-0.927730	истина	0.001779	истина
21	2.566664	9.221118	out	0.916516	out	0.007039	out	0.007040	out	0.007038	out	0.007039	инстина	-0.000000	истина	-0.000000	истина
22	2.655987	6.161905	out	0.916516	out	0.007040	out	0.007041	out	0.007080	out	0.007040	инстина	0.000000	истина	0.000000	истина
23	9.333763	6.551922	in	0.916516	in	0.981418	out	0.306754	out	0.051092	out	0.994279	инстина	-0.681162	ложь	-0.942824	истина
24	11.134423	4.545376	out	0.916516	out	0.008345	out	0.080442	out	0.009189	out	0.008345	инстина	-0.074070	истина	-0.007007	истина
25	9.453466	7.729161	in	0.916516	in	0.986636	out	0.057165	in	0.991535	in	0.986636	ложь	-0.929470	истина	0.004899	истина
26	2.523678	1.265478	in	0.916516	in	0.989521	out	0.030788	out	0.008235	in	0.939521	ложь	-0.984662	истина	-0.931026	истина
27	7.607137	6.024675	in	0.916516	in	0.989523	out	0.994110	out	0.109233	in	0.989523	инстина	-0.071787	ложь	-0.877691	истина
28	4.607725	2.230707	out	0.916516	out	0.008341	in	0.971009	out	0.007080	out	0.005153	инстина	-0.046612	ложь	-0.915957	истина
29	3.410720	2.715250	in	0.916516	in	0.989773	out	0.089338	in	0.992279	in	0.976773	инстина	-0.080533	ложь	-0.907111	истина
30	5.808163	3.465310	out	0.916516	out	0.008047	out	0.083305	out	0.008426	out	0.009047	инстина	0.000000	истина	0.000000	истина
31	8.707228	10.721523	out	0.916516	out	0.007813	out	0.007813	out	0.009421	out	0.013149	инстина	-0.774606	ложь	-0.802998	истина
32	8.1819743	1.325858	out	0.916516	out	0.0071148	out	0.029074	out	0.00848	out	0.011148	инстина	-0.079252	ложь	-0.933101	истина
33	5.991563	6.070003	out	0.916516	out	0.007041	out	0.007051	out	0.007051	out	0.007041	инстина	-0.000000	истина	-0.000000	истина
34	4.700014	9.126263	out	0.916516	out	0.006699	out	0.007039	out	0.007039	out	0.007041	инстина	-0.000002	истина	0.000000	истина
35	8.784705	7.911226	out	0.916516	out	0.007039	out	0.007039	out	0.007039	out	0.007039	инстина	-0.000000	истина	0.000000	истина
36	1.787260	1.387769	out	0.916516	out	0.007042	out	0.007042	out	0.007042	out	0.007042	инстина	-0.000000	истина	0.000000	истина
37	4.952656	2.222794	out	0.916516	out	0.007042	out	0.007042	out	0.007042	out	0.007042	инстина	-0.000000	истина	0.000000	истина
38	11.155230	1.226455	out	0.916516	out	0.007042	out	0.007042	out	0.007042	out	0.007042	инстина	-0.000000	истина	0.000000	истина
39	6.208071	8.388055	out	0.916516	out	0.007042	out	0.007042	out	0.007042	out	0.007042	инстина	-0.000000	истина	0.000000	истина
40	10.181705	6.179089	in	0.916516	in	0.987254	out	0.076054	out	0.016420	in	0.987254	ложь	-0.911127	истина	-0.970834	истина
41	2.237359	7.911226	out	0.916516	out	0.007039	out	0.007039	out	0.007039	out	0.007039	инстина	0.000000	истина	0.000000	истина
42	4.748516	9.843406	out	0.916516	out	0.007038	out	0.007038	out	0.007040	out	0.007038	инстина	0.000000	истина	0.000000	истина
43	2.566568	4.970982	out	0.916516	out	0.007037	out	0.007037	out	0.007040	out	0.007037	инстина	-0.000000	истина	0.000000	истина
44	6.071532	8.338198	out	0.916516	out	0.007037	out	0.007037	out	0.007041	out	0.007037	инстина	-0.000000	истина	0.000000	истина
45	4.615602	1.226862	in	0.916516	in	0.987888	out	0.021389	out	0.0010987	out	0.868888	ложь	-0.857658	истина	-0.000000	истина
46	1.535647	0.001555	out	0.916516	out	0.007039	out	0.007039	out	0.007040	out	0.007039	инстина	-0.000000	истина	-0.000000	истина
47	7.160419	9.163447	in	0.916516	in	0.634955	out	0.911149	out	0.094574	out	0.911149	ложь	-0.913156	истина	-0.617943	истина
48	8.003183	8.169173	in	0.916516	in	0.984601	out	0.408043	in	0.984601	out	0.984601	ложь	-0.586558	истина	-0.011219	истина
49	8.655130	6.118203	out	0.916516	out	0.007038	out	0.007038	out	0.007038	out	0.007038	инстина	-0.000000	истина	0.000000	истина
50	4.154975	4.025421	out	0.916516	out	0.007039	out	0.007039	out	0.007039	out	0.007039	инстина	-0.000000	истина	-0.000000	истина

Приложение F «Таблица экспериментов с расширением на коэффициент 0.2 для модели MNIST»

МИВУ.09.03.02-00.000

ПЗ

Лист

44